

写真-3 模型M3 ( $\phi = 90^\circ$ )の等色線縞模様  $\gamma_A = 33.8^\circ$ ,  $\gamma_B = 123.8^\circ$

る  $\gamma_A = 33.8^\circ$  のM3の等色線縞模様を示す。

上記の3種類の入射条件に対して、いずれの場合もOB境界に直接入射する平面SV波はなく、OB境界付近をB点に向かって伝播する波動は、すべて隅角から発生した散乱波である。したがって、写真に現れているOB境界付近の等色線縞模様は、主としてhead waveと表面波によるものである。写真から波動の種類は明瞭に区別できるが、それらによる応答の大きさを比較するには不十分である。そのため、動ひずみ測定により散乱波の応答を比較する。

図-2に、写真-1, 2, 3それぞれの測点G<sub>4</sub>, G<sub>3</sub> ( $\gamma_A = 0.0^\circ, 33.8^\circ$ )におけるひずみ波形を示す。この図より、入射SV波の寄与のみを考えると、OA境界への入射角 $\gamma_A$ よりOB境界への入射角 $\gamma_B$ が隅角からの散乱波に対して支配的であり、同じ開角 $\phi$ に対しては $\gamma_B = 90^\circ$ のときの方が大きいことが分かる。

図-3に、平面波SV波がOA境界へ垂直入射する場合と、非均質波入射をする場合の、測点Gの表面波のみによるひずみ応答の最大値を、OB境界の入射角と隅角の開角で整理して示す。ただし、縦軸は入射波のピークの最大せん断ひずみ $\epsilon_0$ で基準化したひずみ( $\epsilon/\epsilon_0$ )である。

この図は、隅角から発生した表面波が測点へ到達する時間をもとにひずみ波形から求めた値であり、head waveの応答が含まれていないから、必ずしもその測点の最大ひずみ応答ではないが、図-2で述べたように、 $\gamma_B = 90^\circ$ のとき両者は一致する。また、 $\gamma_B = 45^\circ$ 以下と以上で応答の位相が逆転している。

ここには示していないが、SV波が垂直入射する場合と非均質波入射する場合とは、OB境界への入射角 $\gamma_B$ によらず非均質波入射の場合の方がひずみ応答は大きい。

3. まとめ

ここで用いた隅角とその開角の範囲では、隅角を経由して伝播する散乱波による自由境界の応答は、開角が等しければその境界への入射角が $90^\circ$ 付近のとき最大となる。また、垂直入射の場合より非均質波入射の場合の方の応答がほぼ2割大きい。

参考文献 1)佐藤：動光弾性実験による平面SV波が入射した自由境界の表面波挙動，構造工学論文集，35A，pp. 27~36, 1989. 2)佐藤他：動光弾性実験と動ひずみ測定による表面波の挙動，中四支部発表会，1-23, 1989.

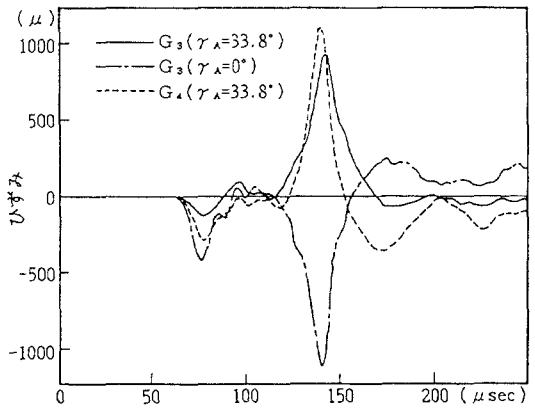


図-2 OB境界のひずみ波形 (測点G)

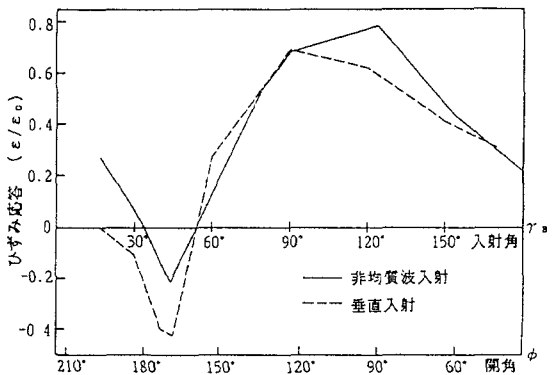


図-3 入射角 $\gamma_B$ と表面波のひずみ応答